

Tatouage robuste par étalement de spectre avec prise en compte de l'information adjacente

Gaëtan Le Guelvouit

Sous la direction de C. Guillemot et S. Pateux

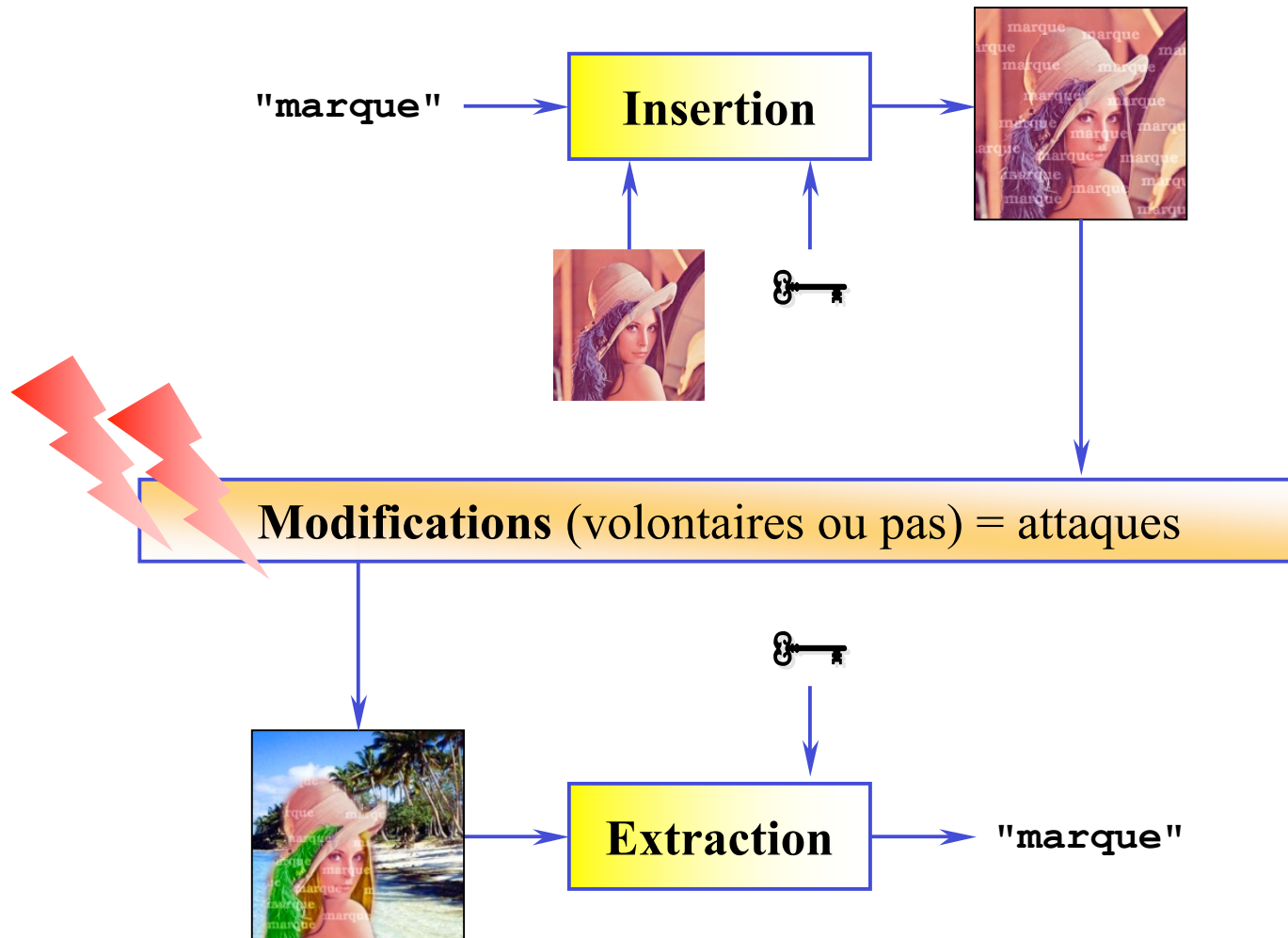
Temics - IRISA



Sécurité des documents numériques

- De plus en plus de documents numériques (CD audio, DVD, photo numérique, ...)
 - Facilité de stockage, manipulation et transmission
 - Mais problèmes de piratage, authentification et droits d'auteur
- Solution depuis une dizaine d'années : tatouage numérique
 - Insertion d'une marque au sein d'un document
 - Ne doit pas gêner l'exploitation
 - Notion de robustesse (\neq stéganographie)

Tatouage robuste : principe



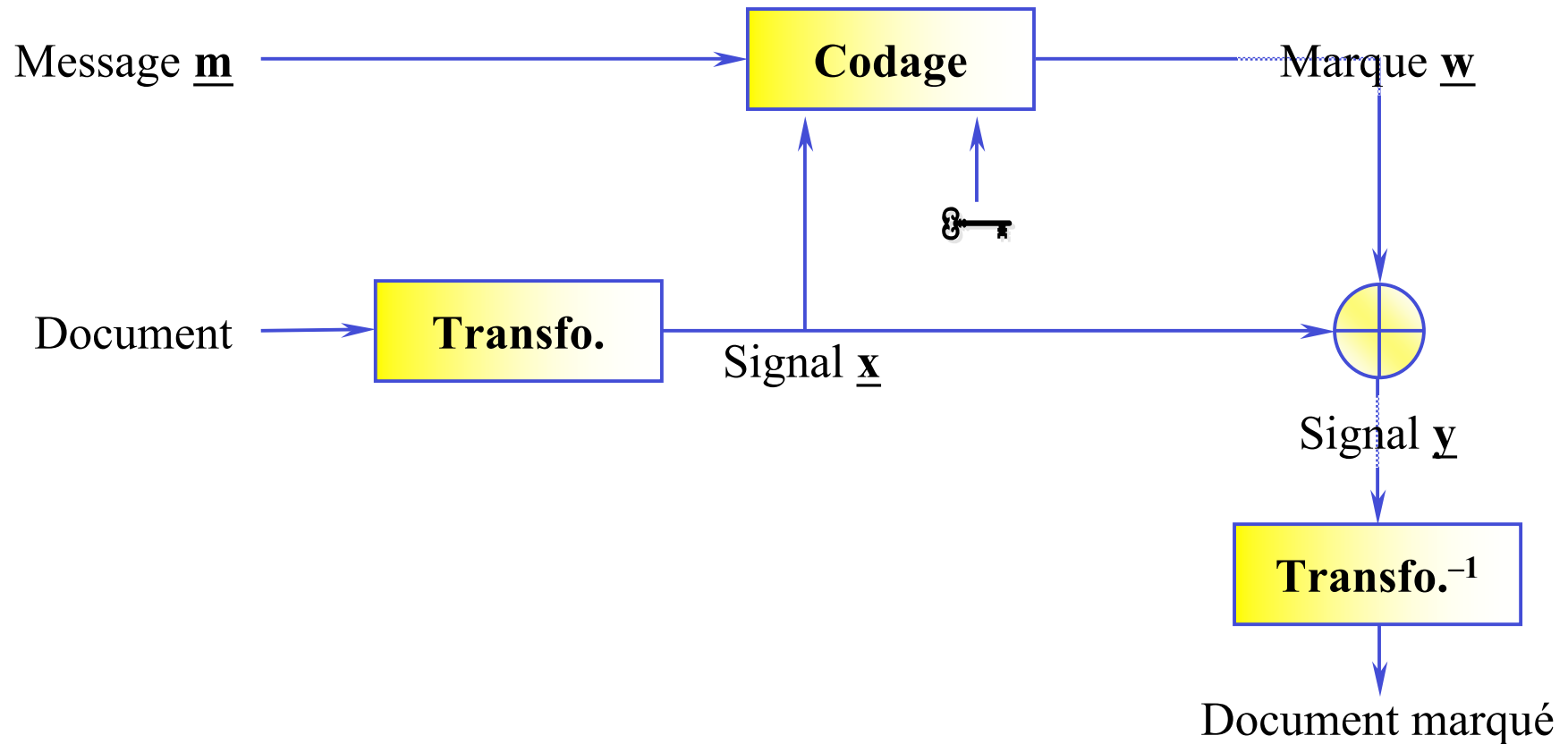


Deux principales techniques

- Le tatouage substitutif [Turner89, Koch05, Puate96]
 - Modification du document afin de correspondre à une marque (ex : quantification [Eggers00])
 - Bonnes performances pour des attaques simples (bruit)
 - Performances médiocres sur attaques évoluées
- Le tatouage additif [Bender95, Cox97]
 - Ajout d'une marque au document
 - Le document est une source d'interférence
⇒ performances a priori moins bonnes
 - Contrôle aisée de la distorsion introduite
 - Robustesse aux attaques évoluées (filtrage, compression, ...)

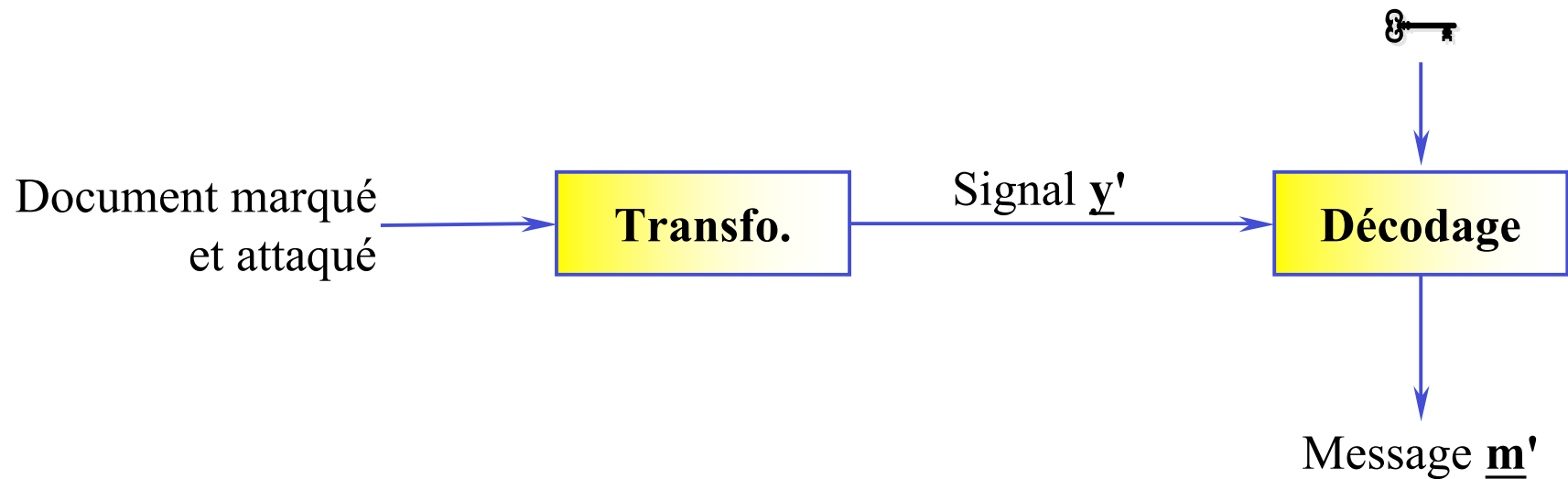
Tatouage additif

Insertion



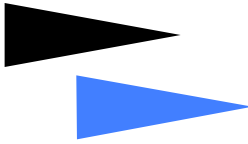
Tatouage additif

Extraction



Problématique

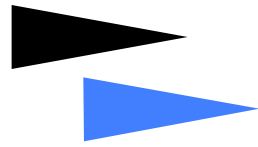
- $\underline{y} = \underline{x} + \underline{w} = \underline{x} + \text{codage}(\underline{m}, \underline{x}, \mathcal{E})$
- Comment définir les fonctions $\text{codage}(\underline{m}, \underline{x}, \mathcal{E})$ et $\text{décodage}(\underline{y}', \mathcal{E})$?
 - Pour être le plus robuste possible
 - Pour respecter une distorsion maximale donnée
- Décomposable en deux parties
 1. *Mise en forme* : passage de k bits (<1000) à un signal de dimension m ($>10^5$): $\underline{m} \rightarrow \underline{w}^0$
 2. *Adaptation* : adapter \underline{w}^0 au document à marquer : $\underline{w}^0 \rightarrow \underline{w}$



Etat de l'art

Techniques empiriques

- Mise en forme $\underline{\mathbf{m}} \rightarrow \underline{\mathbf{w}}^0$
 - Patchwork [Bender95]
 - Etalement de spectre [Cox97, ...]
 - Puis ajout de codes correcteurs
 - Simple répétition
 - Codes BCH, codes convolutifs
 - Combinaison de répétition + codes
- Adaptation $\underline{\mathbf{w}}^0 \rightarrow \underline{\mathbf{w}}$
 - Pas d'adaptation à $\underline{\mathbf{x}}$: ajout d'un bruit blanc
 - Marquage uniquement de certaines fréquences
 - Critère perceptuel [Swanson96, Piva97, Podilchuk98, ...]



Etat de l'art

Début de théorisation

- Mise en forme $\underline{\mathbf{m}} \rightarrow \underline{\mathbf{w}}^0$
 - Tatouage = problème de communication
 - Justification de l'utilisation de codes correcteurs
 - Avec information adjacente (une partie du bruit est connue) [Cox99] \Rightarrow redécouverte de [Costa83]
 - Adaptation $\underline{\mathbf{w}}^0 \rightarrow \underline{\mathbf{w}}$
 - Prise en compte des attaques
 - Concentrer la marque sur les échantillons perceptuellement importants [Cox97]
 - Marque similaire au signal hôte (PSC [Su99])
 - tatouage/attaque = jeu (max. robustesse vs min. robustesse) [Moulin98]
-



Objectif

- Comment exploiter les bases théoriques évoquées dans un schéma **pratique** de tatouage ?
 - Exhiber un canal à partir d'un schéma de tatouage additif
 - Répartir la marque que nous ajoutons
 - Coder le message

- Deux axes d'études :
 1. Définition et optimisation d'un canal de communication
 2. Proposition d'une technique de codage adaptée

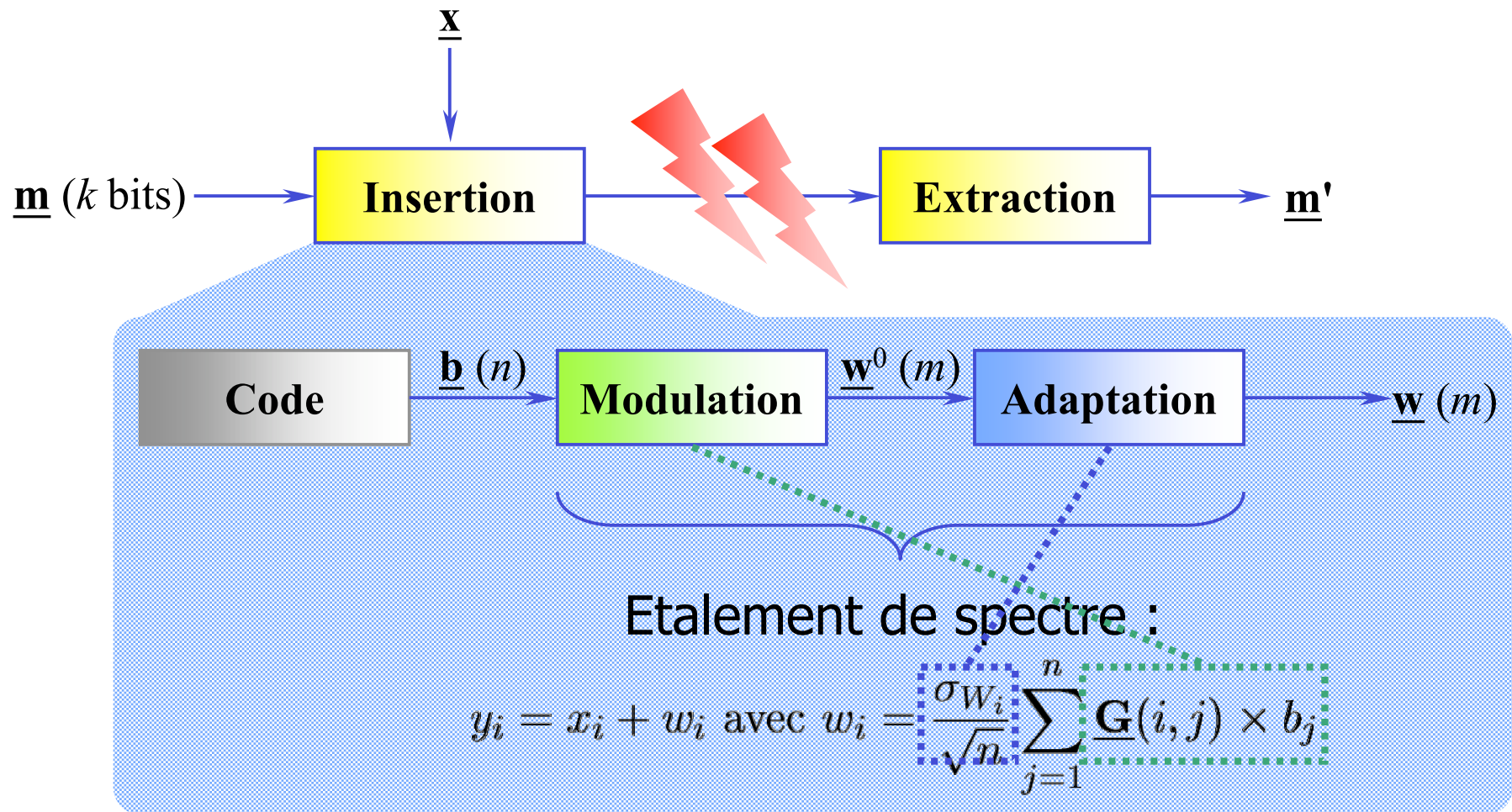


Plan

- Tatouage = problème de communication
 - Définition du canal
 - Optimisation par théorie des jeux
 - Résultats
 - Codage du message
 - Rappel du schéma de Costa
 - Dictionnaire partitionné par codes poinçonnés
 - Construction de la marque
 - Application pratique : tatouage d'images
-

Définition du canal

Etalement de spectre





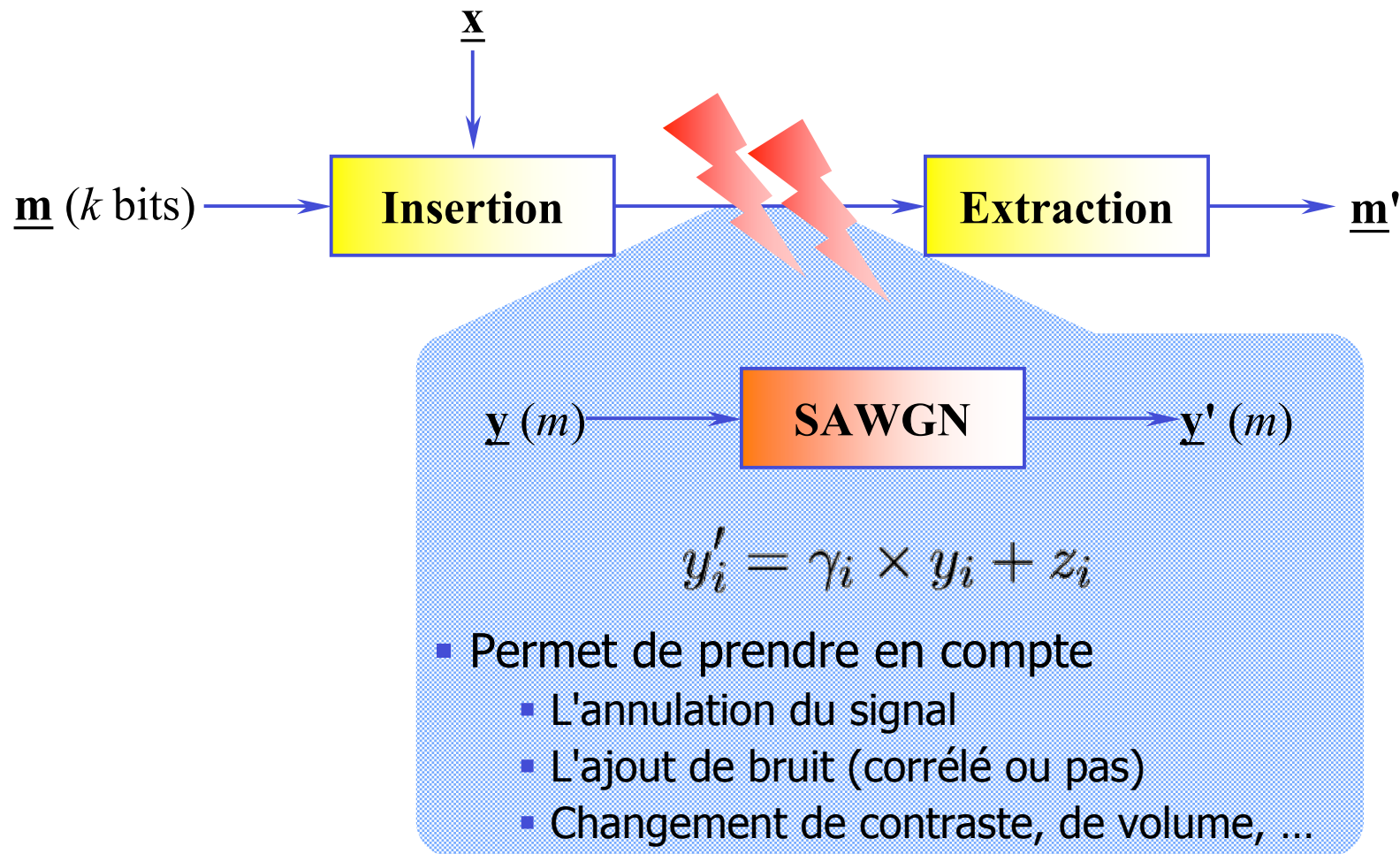
Définition du canal

Etalement de spectre

- Principe : construit une marque de grande dimension par "*étalement*" de symboles
⇒ passage de n bits à un signal de \underline{w}^0 de dimension m
- Adaptée aux canaux fortement bruités
- Notion de sécurité grâce à des porteuses pseudo-aléatoires
- Définit un canal gaussien [Piva97]
⇒ même si \underline{x} ne suit pas une loi Normale, on se ramène à un canal connu

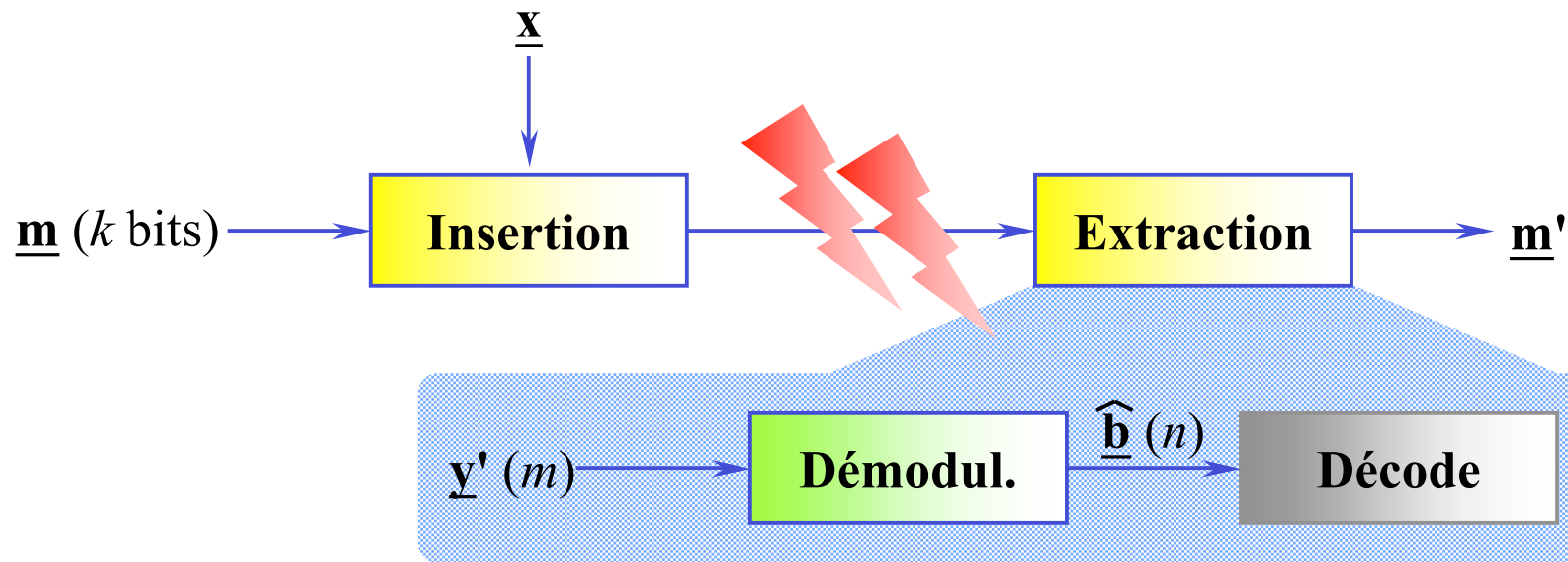
Définition du canal

Modélisation des attaques



Définition du canal

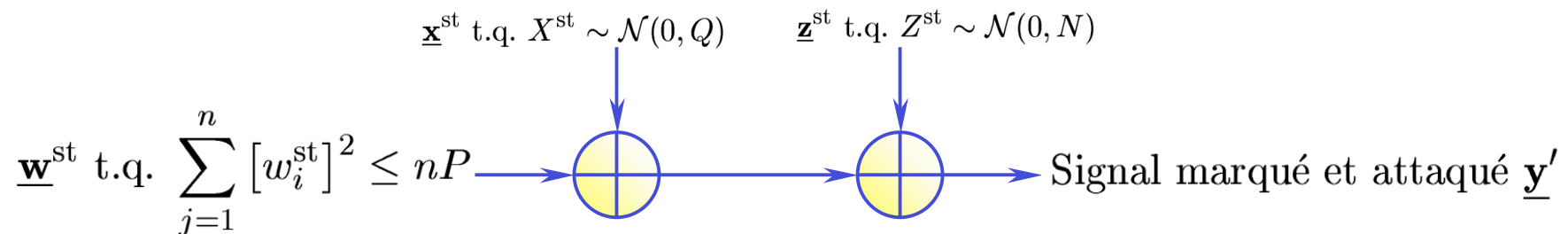
Extraction



Définition du canal Canal gaussien...

- n porteuses \rightarrow sous-espace linéaire
 - Signal hôte $\underline{\mathbf{x}} \rightarrow \underline{\mathbf{x}}^{\text{st}}$
 - Bruit d'attaque $\underline{\mathbf{z}} \rightarrow \underline{\mathbf{z}}^{\text{st}}$
 - En posant $\underline{\mathbf{w}}^{\text{st}} = \underline{\mathbf{b}}$, on a $\underline{\mathbf{y}}^{\text{st}} = \underline{\mathbf{w}}^{\text{st}} + \underline{\mathbf{x}}^{\text{st}} + \underline{\mathbf{z}}^{\text{st}}$
 - $\underline{\mathbf{x}}^{\text{st}}$ et $\underline{\mathbf{z}}^{\text{st}}$ signaux gaussiens i.i.d.

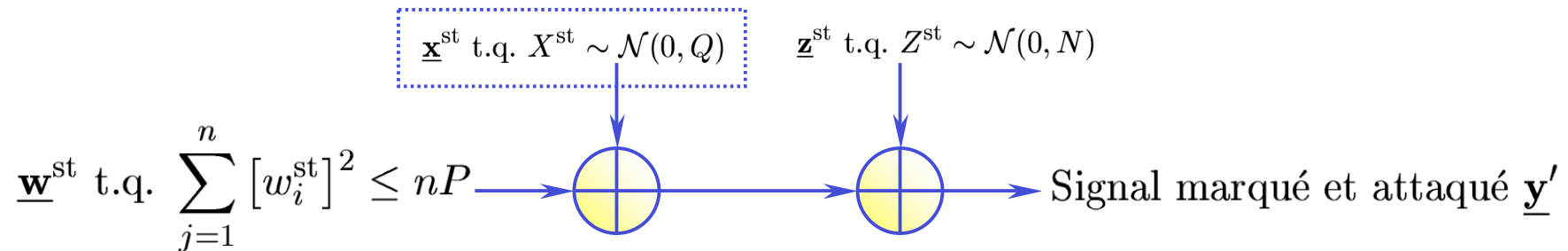
\rightarrow Canal gaussien



\rightarrow Comment maximiser cette performance en jouant sur les σ_W ?

Définition du canal

... Avec info. adjacente



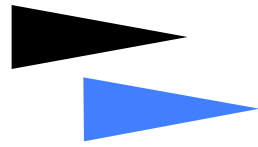
- $\underline{\mathbf{x}}^{\text{st}}$ parfaitement connu à l'insertion (signal à marquer)

→ Canal avec information adjacente

- Capacité [Costa83] :

$$C = \frac{1}{2} \log_2 \left[1 + \frac{P}{N} \right] \quad \text{avec} \quad \frac{P}{N} = \sum_{i=1}^m \frac{\gamma_i \sigma_{W_i}}{\sigma_{Z_i}^2}$$

→ $P/N =$ mesure de performance à optimiser



Optimisation par théorie des jeux

Principe du max-min

- Soient la distorsion d'insertion D_e et d'attaque D_a
- 1. Pour une stratégie d'insertion \underline{e} donnée, l'attaque optimale est

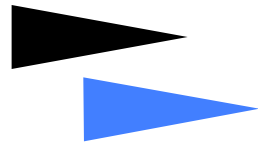
$$\underline{a}^* = \arg \min_{\underline{a} \in \mathcal{A}(D_a)} \{\text{perf}(\underline{e}, \underline{a})\}$$

2. La meilleure défense face à cette attaque est

$$\underline{e}^* = \arg \max_{\underline{e} \in \mathcal{E}(D_e)} \{\text{perf}(\underline{e}, \underline{a}^*)\}$$

$$= \arg \max_{\underline{e} \in \mathcal{E}(D_e)} \left\{ \min_{\underline{a} \in \mathcal{A}(D_a)} \{\text{perf}(\underline{e}, \underline{a})\} \right\}$$

- Performance minimale garantie**
pour attaques de distorsion $< D_a$
-



Optimisation par théorie des jeux

1. Attaque optimale

- Distorsion d'attaque = EQM pondérée entre \underline{x} et \underline{y}' :

$$D_a = D_{\underline{xy}'} = \mathbb{E} \left[\varphi_i^2 (x_i - y'_i)^2 \right]$$

- Formulation lagrangienne | *Pondération perceptuelle*

$$(\gamma_i^*, \sigma_{Z_i}^*) = \arg \min_{\gamma_i, \sigma_{Z_i} \geq 0} \left\{ P/N + \lambda D_{\underline{xy}'} \right\}$$

→ Résolution = deux stratégies d'attaques

- Annulation de l'échantillon
 - Ajout de bruit + filtrage de Wiener (réduction de D_a)
-

Optimisation par théorie des jeux

2. Stratégie de défense

- Distorsion d'insertion :

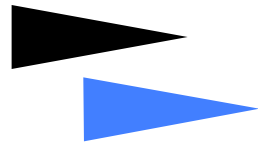
$$D_e = D_{\underline{xy}} = \mathbb{E} \left[\varphi_i^2 (x_i - y_i)^2 \right]$$

- Wiener à l'attaque = réduction de D_a sans impact sur P/N → **auto-application** à l'insertion

- Encore une formulation lagrangienne

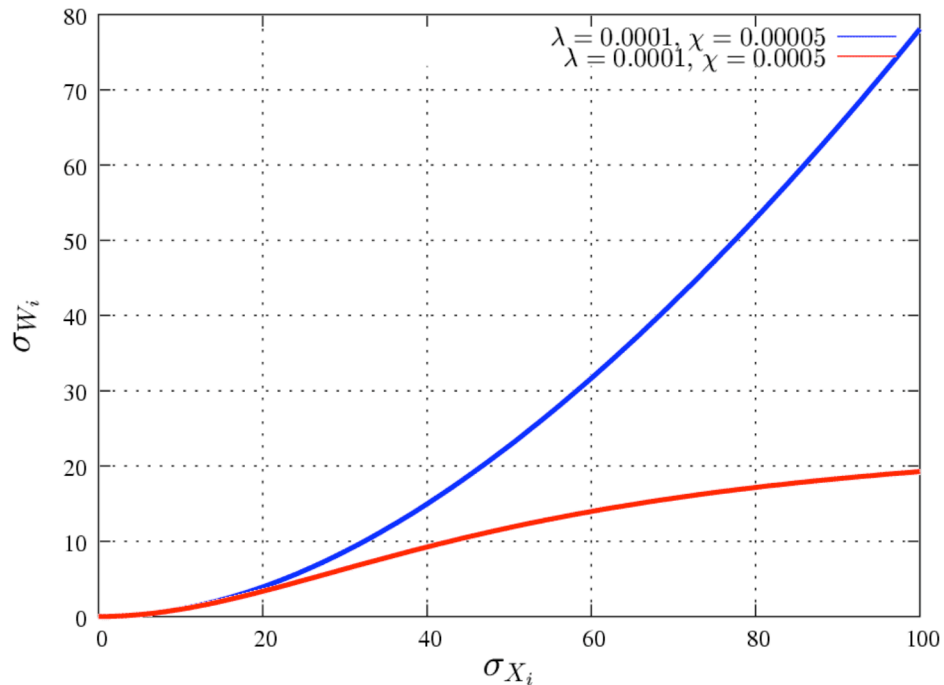
$$\sigma_{W_i}^* = \arg \max_{\sigma_{W_i} \geq 0} \left\{ P/N + \lambda D_{\underline{xy}'} - \chi D_{\underline{xy}} \right\}$$

- Résolution pour les 2 stratégies d'attaques
-



Optimisation par théorie des jeux

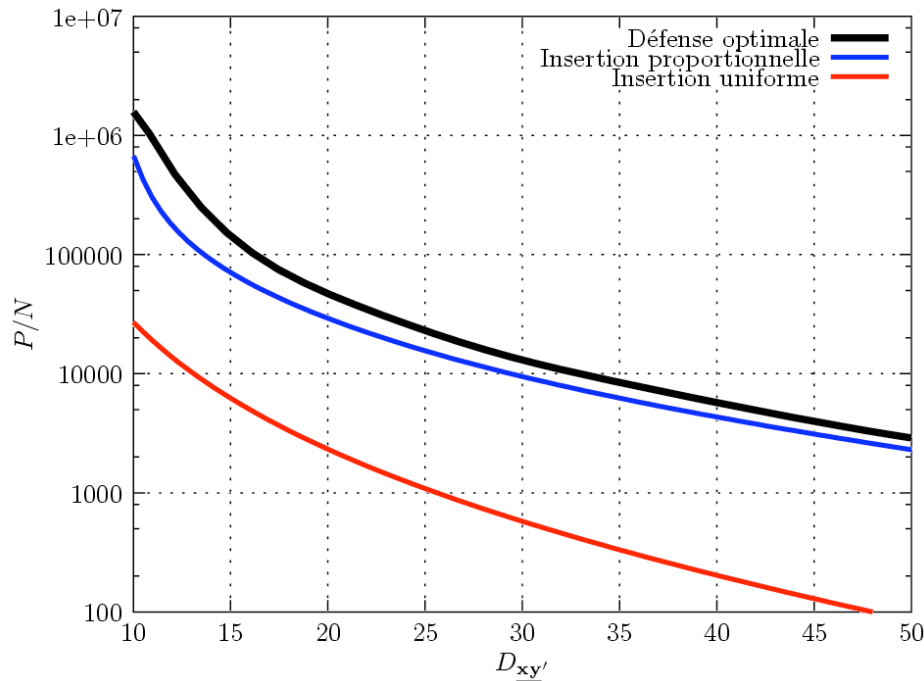
2. Stratégie de défense



- Deux stratégies suivant l'attaque visée
 - Si attaque > tatouage
→ Concentration dans les fortes énergies
 - Si attaque < tatouage
→ Répartition équilibrée

Résultats

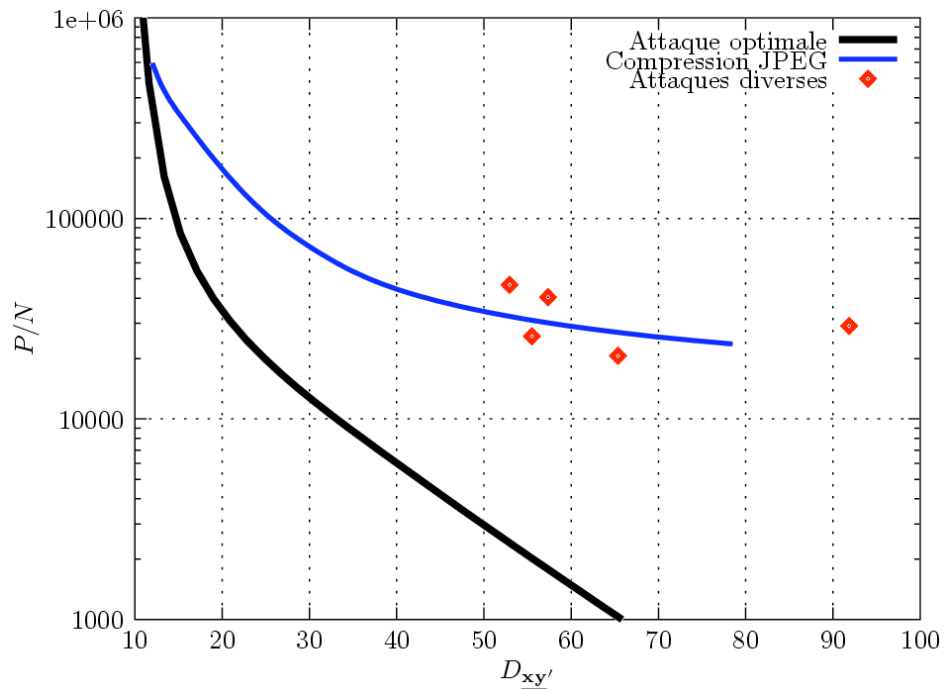
Face à l'attaque optimale



- Signal \underline{x} obtenu par DWT 3 niveaux de *Lena* 512×512
 - Tatouage avec $D_e = 10$ (PSNR ≈ 38 dB)
 - Application de l'attaque optimale
 - Comparaison face à
 - Insertion uniforme
 - Proportionnelle [Piva97, Su99]
- ➔ Face à la pire des attaques, notre stratégie est la meilleure

Résultats

Face à des attaques réelles



- Insertion réglée pour une attaque $D_a = 40$
 - Attaques de Stirmark [Petitcolas00]
 - Compression JPEG
 - Filtrages (médian, flou...)
- ➔ Attaques réelles très sous-optimales, les performances sont encore meilleures



Première partie

Résumé

- Identification du canal de tatouage
 - L'étalement de spectre définit un sous-espace linéaire
 - Canal gaussien **unique** avec information adjacente (\neq [Moulin01])
 - Optimisation du signal-à-bruit P/N
 - Utilisation de distorsions pondérées
 - Définition d'une attaque SAWGN optimale
 - Calcul d'une stratégie d'insertion assurant une performance minimale pour toute attaque
-

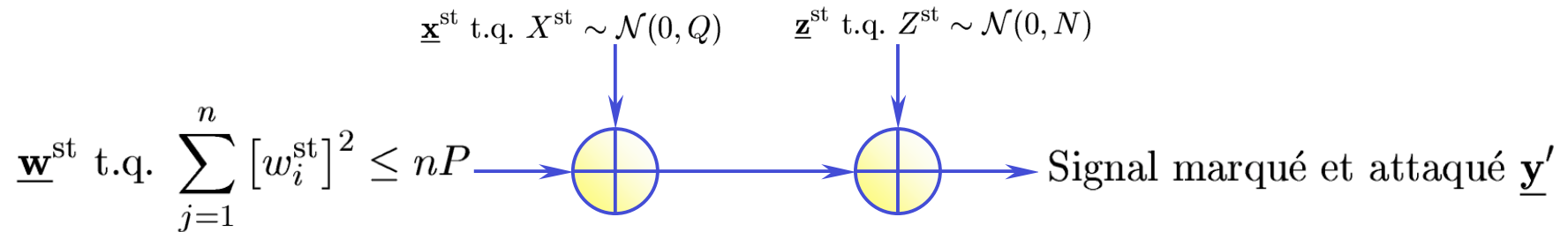


Plan de l'exposé

- Tatouage = problème de communication
 - Définition du canal
 - Optimisation par théorie des jeux
 - Résultats
 - Codage du message
 - Rappel du schéma de Costa
 - Dictionnaire partitionné par codes poinçonnés
 - Construction de la marque
 - Application pratique : tatouage d'images
-

Schéma de Costa

Canal de tatouage : rappel



- Transmission d'un signal $\underline{\mathbf{w}}^{\text{st}}$ d'énergie max. P
- Canal bruité par $\underline{\mathbf{x}}^{\text{st}}$ et $\underline{\mathbf{z}}^{\text{st}}$ (énergies Q et N)
- Source $\underline{\mathbf{x}}^{\text{st}}$ connue = information adjacente
- Capacité [Costa83] :

$$C = \frac{1}{2} \log_2 \left[1 + \frac{P}{Q + N} \right]$$



Schéma de Costa

Principe

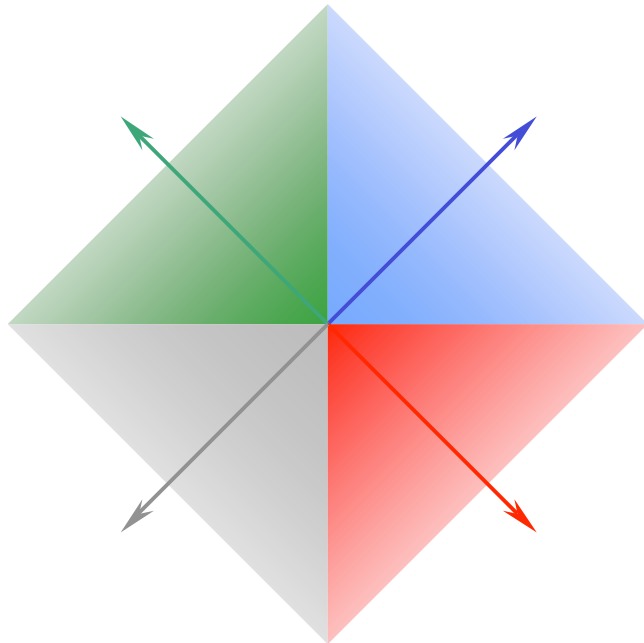
- *Ideal Costa Scheme* : dictionnaire de 2^{nC+i} éléments
 - Dictionnaire \mathcal{V} partitionné en nC sous-dictionnaires $\mathcal{V}_{\underline{m}}$
 - Message \underline{m} associé à $\mathcal{V}_{\underline{m}}$
 - Dimension des $\mathcal{V}_{\underline{m}} = 2^i$ mots de codes avec

$$i = \frac{n}{2} \log_2 \left[1 + \frac{PQ}{(P+N)^2} \right]$$

→ Partitionnement doit être adapté au signal à marquer

Schéma de Costa

Intérêt de la multiplicité

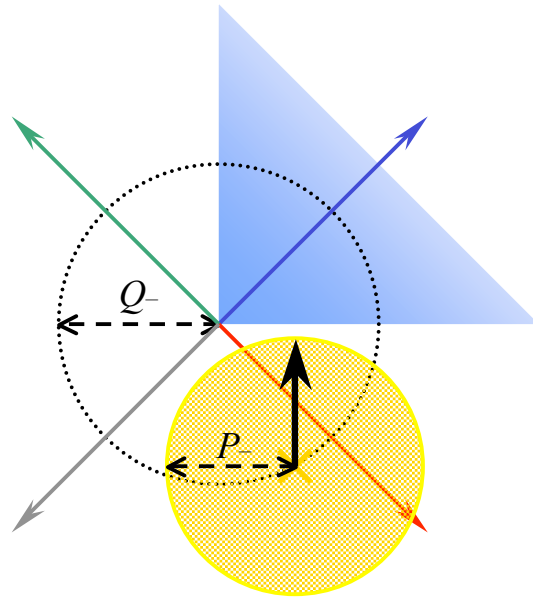


- Mot de code \rightarrow zone de robustesse

$$\mathcal{M} = \{00, 01, 10, \underline{11}\}$$
$$i = 0$$

Schéma de Costa

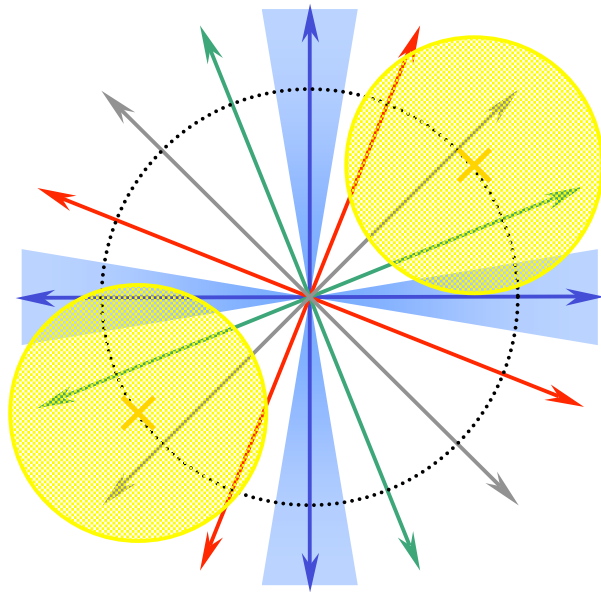
Intérêt de la multiplicité



- Mot de code \rightarrow zone de robustesse
- Si $Q > P$, on peut ne pas atteindre la zone \Rightarrow erreur de décodage même sans d'attaque

$$\mathcal{M} = \{00, 01, 10, 11\}$$
$$i = 0$$

Schéma de Costa : Intérêt de la multiplicité



$$\mathcal{M} = \{00, 01, 10, \underline{11}\}$$
$$i = 2$$

- Mot de code \rightarrow zone de robustesse
- Si $Q > P$, on peut ne pas atteindre la zone \Rightarrow erreur de décodage même sans d'attaque
- Grâce au dictionnaire partitionné, on est sûr d'atteindre la bonne zone
- i doit être adapté en fonction de Q

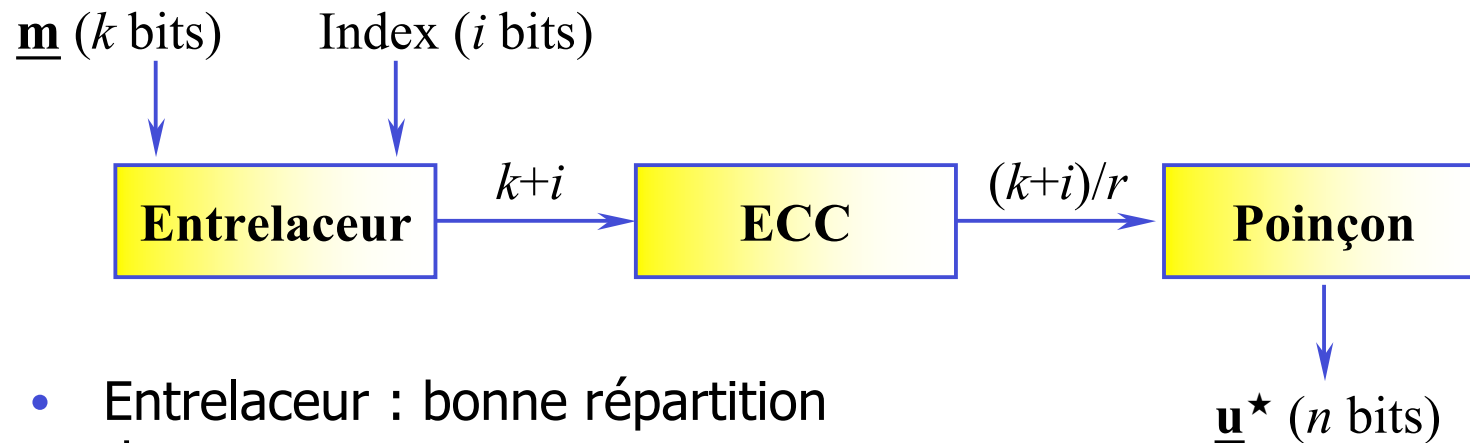
Comment construire \mathcal{V} ?

- Propriétés nécessaires
 - Bonne répartition des mots de code au sein de \mathcal{V} et des sous-dictionnaires $\mathcal{V}_{\underline{m}}$
 - Changement de la structure (valeur de i) aisée pour s'adapter à tout $\underline{x}^{\text{st}}$
 - Approches possibles
 - Schéma de Costa : mots de code aléatoires
⇒ inutilisable en pratique
 - Techniques déjà proposées basées sur ECC :
syndromes [Chou01], treillis à multiples chemins [Miller02]
⇒ mais partitionnement du dictionnaire fixé
- ➔ Approche par codes correcteurs poinçonnés

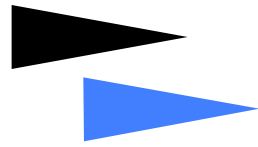
Proposition de dictionnaire

Index et codes poinçonnés

- 2^i mots de code par message
⇒ introduction de i bits d'index supplémentaires



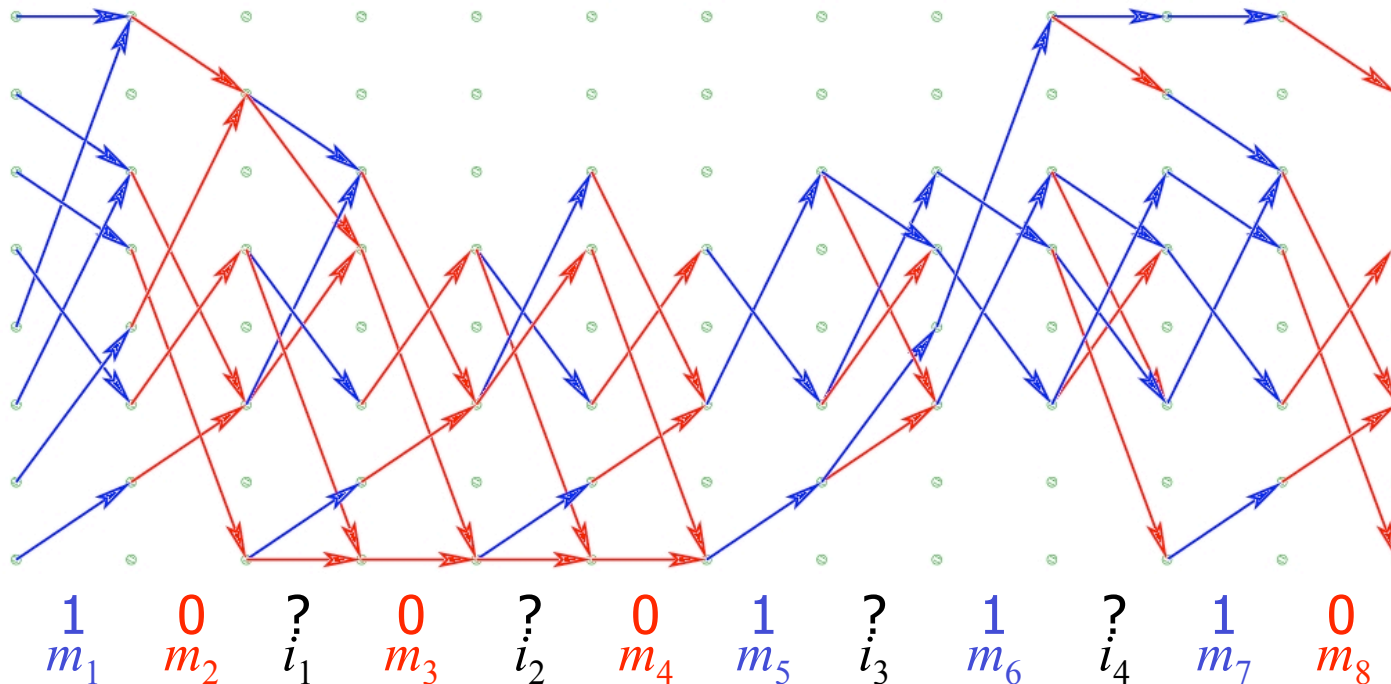
- Entrelaceur : bonne répartition dans $\mathcal{U}_{\underline{m}}$
- ECC convolutif : bon pouvoir de correction (répartition dans \mathcal{U}) + décodage rapide par algorithme de Viterbi
- Poinçonnage t.q. k/n constant pour tout i



Proposition de dictionnaire

Technique d'encodage

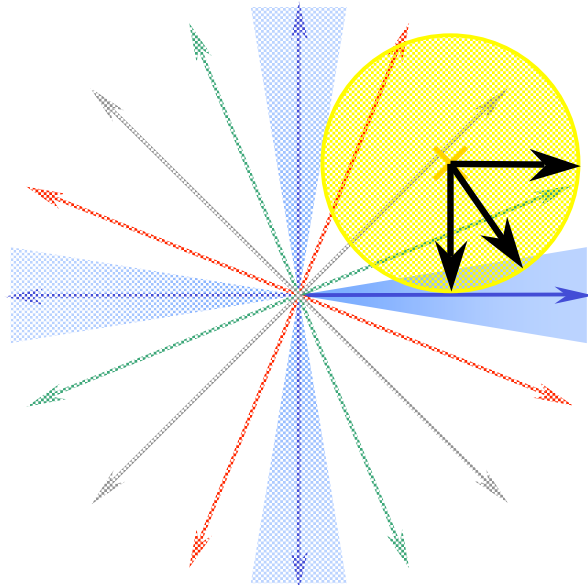
- A l'encodage
 - Recherche de $\underline{\mathbf{u}}^\star \in \mathcal{V}_{\underline{\mathbf{m}}}$ le plus proche de $\underline{\mathbf{x}}^{\text{st}}$
 \Rightarrow trouver le meilleur index
 - Décodage de $\underline{\mathbf{x}}^{\text{st}}$ avec a priori $\underline{\mathbf{u}}^\star \in \mathcal{V}_{\underline{\mathbf{m}}}$



Construction de la marque

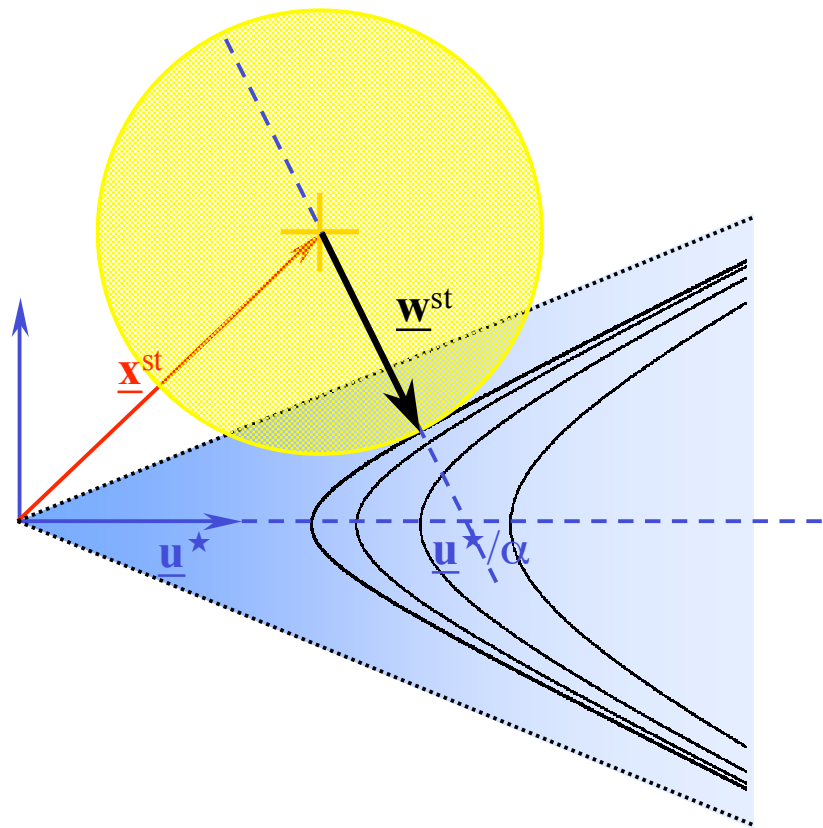
Passage de \underline{u}^\star à $\underline{w}^{\text{st}}$?

- On sait construire \underline{u}^\star , reste à trouver le meilleur $\underline{w}^{\text{st}}$



Construction de la marque

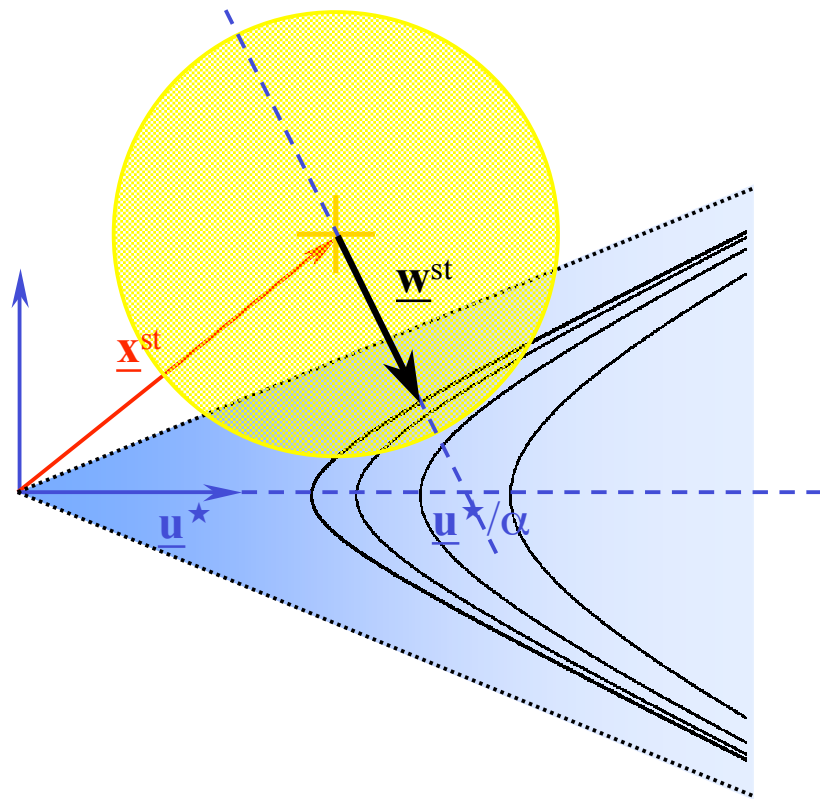
Rappel de Costa



- On sait construire \underline{u}^* , reste à trouver le meilleur $\underline{w}^{\text{st}}$
- Costa pose $\underline{w}^{\text{st}} = \underline{u}^* - \alpha \underline{x}^{\text{st}}$ avec $\alpha = P/(P+N)$
 \Rightarrow optimal dans le pire cas, assure d'être robuste à un bruit d'énergie N

Construction de la marque

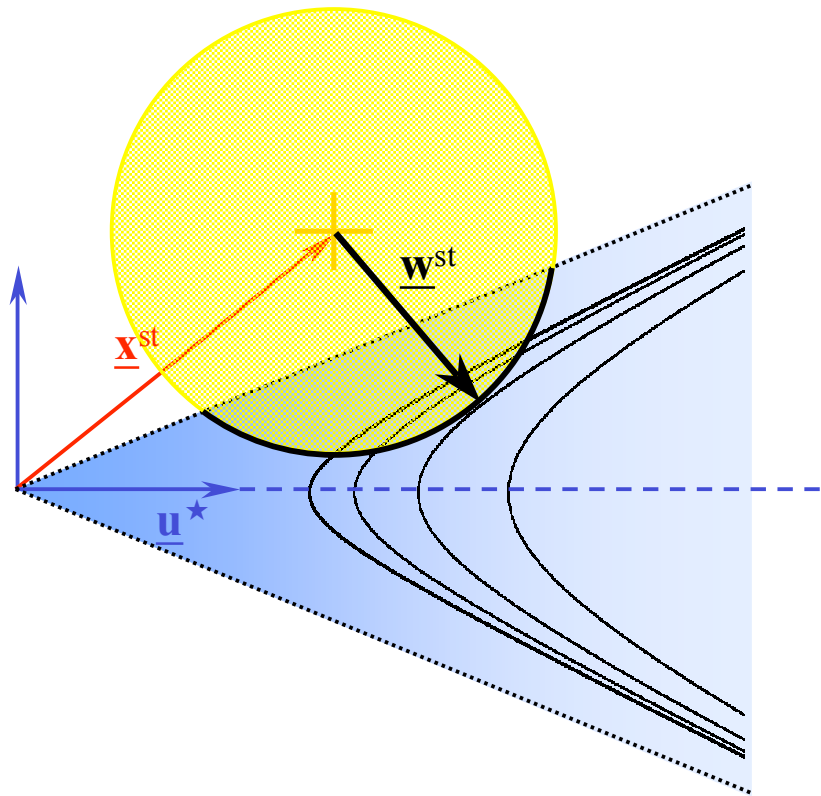
Rappel de Costa



- On sait construire \underline{u}^* , reste à trouver le meilleur \underline{w}^{st}
- Costa pose $\underline{w}^{st} = \underline{u}^* - \alpha \underline{x}^{st}$ avec $\alpha = P/(P+N)$
⇒ optimal dans le pire cas, assure d'être robuste à un bruit d'énergie N

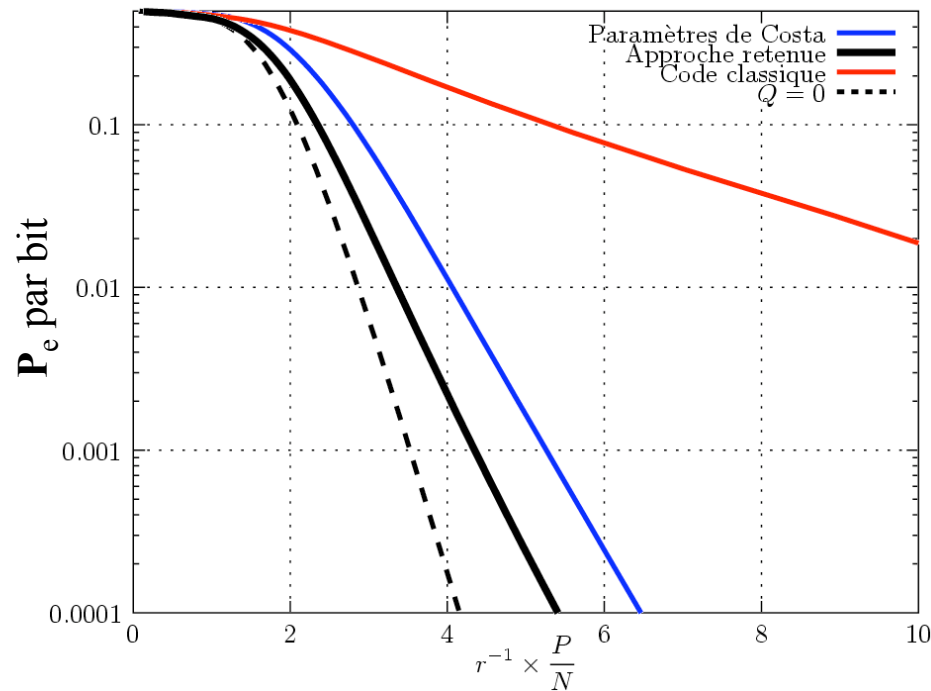
Construction de la marque

Maximiser la robustesse



- On sait construire \underline{u}^* , reste à trouver le meilleur $\underline{w}^{\text{st}}$
- Costa pose $\underline{w}^{\text{st}} = \underline{u}^* - \alpha \underline{x}^{\text{st}}$ avec $\alpha = P/(P+N)$
⇒ optimal dans le pire cas, assure d'être robuste à un bruit d'énergie N
- Recherche du point qui maximise la robustesse (généralisation de [Miller00])
- *(Prise en compte de l'interférence inter-symboles)*

Performances du code proposé



$$r = 1/2, P = 1$$

- Code proposé bien supérieur à un code classique
 - Maximisation de la robustesse meilleure que $\alpha = P/(P+N)$ défini par Costa
- ➔ Performances proches de l'idéal atteignable



Plan de l'exposé

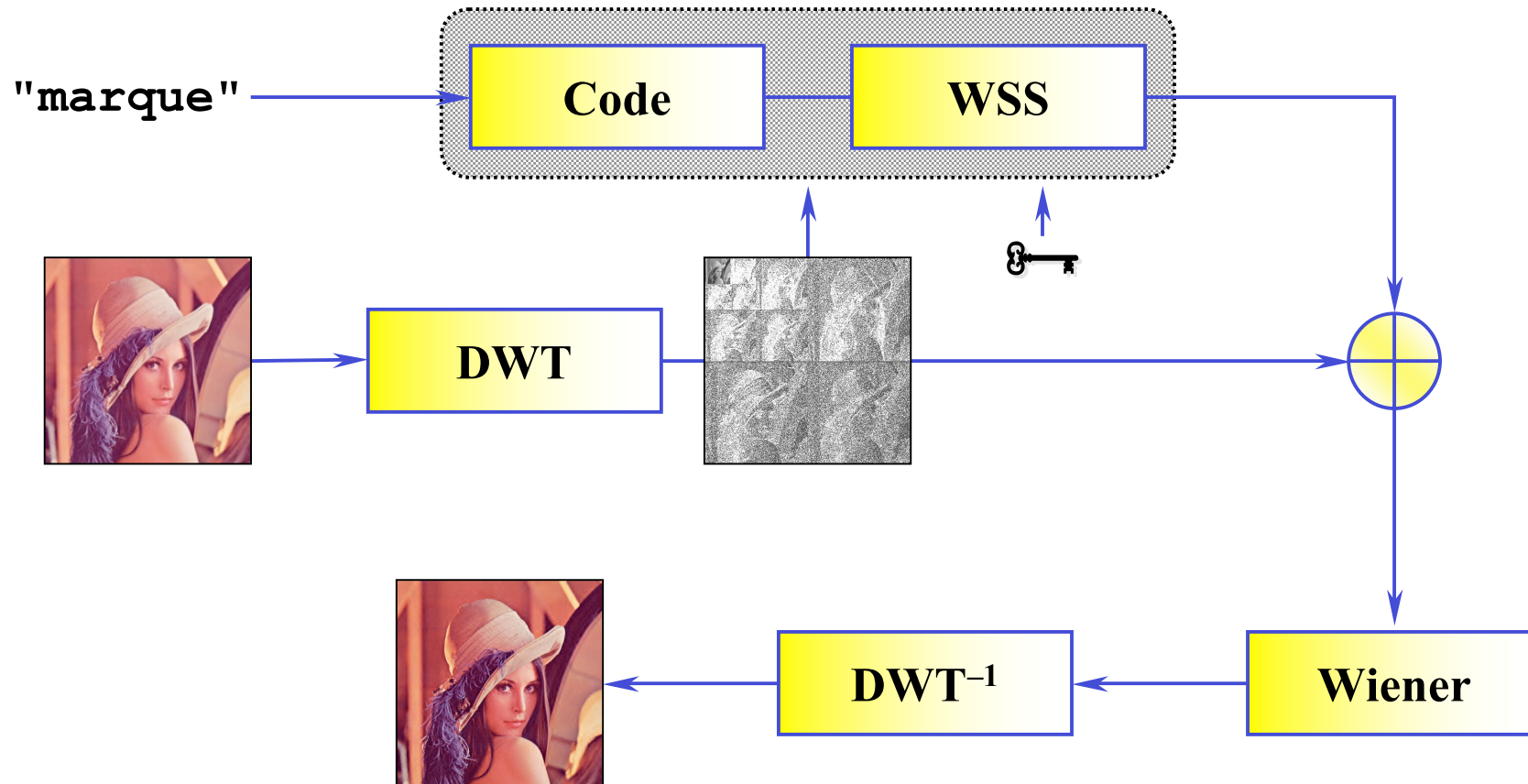
- Tatouage = problème de communication
 - Définition du canal
 - Optimisation par théorie des jeux
 - Résultats
- Codage du message
 - Rappel du schéma de Costa
 - Dictionnaire partitionné par codes poinçonnés
 - Construction de la marque
- Application pratique : tatouage d'images



Exploitation de nos techniques

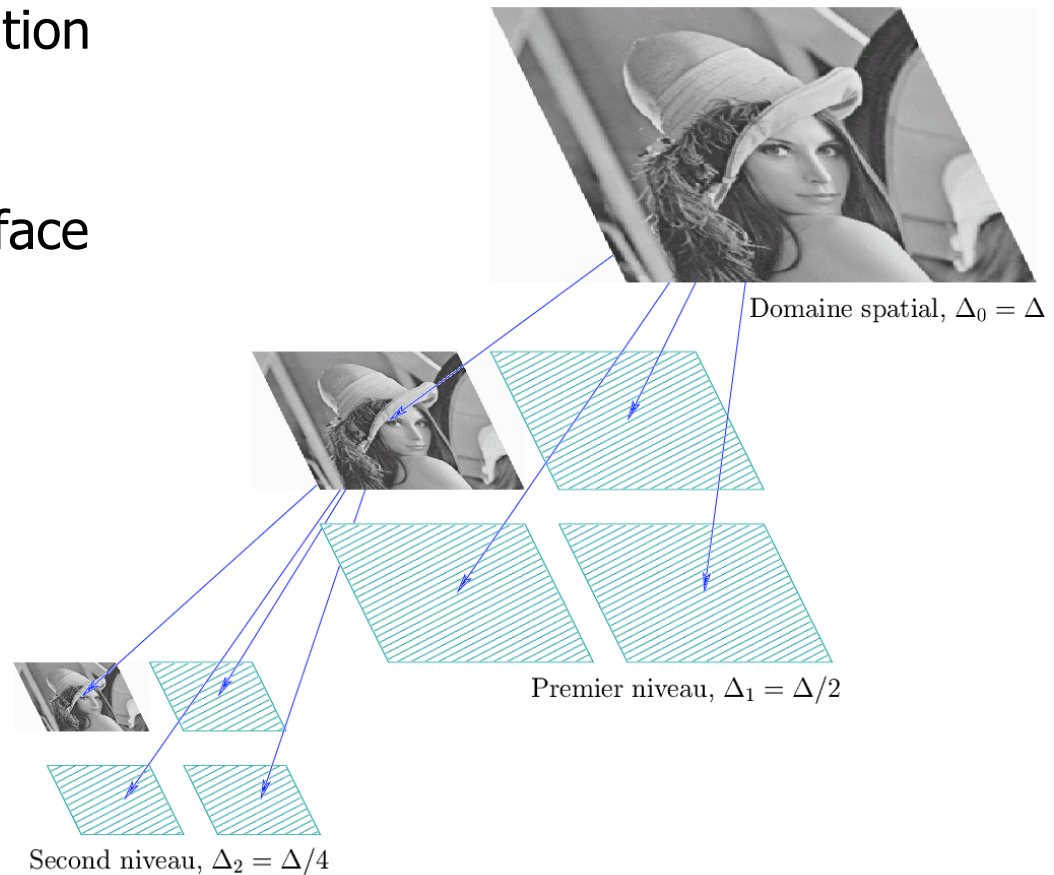
- Application au tatouage d'image
- Définition du signal \underline{x} depuis une image ?
 - Tatouage direct des pixels (domaine spatial)
 - Transformée fréquentielle (Fourier, DCT, ...)
- Quelles performances espérer ?
 - Robustesse et probabilité d'erreur
 - Capacité
 - Qualité visuelle (distorsion introduite)

Schéma choisi

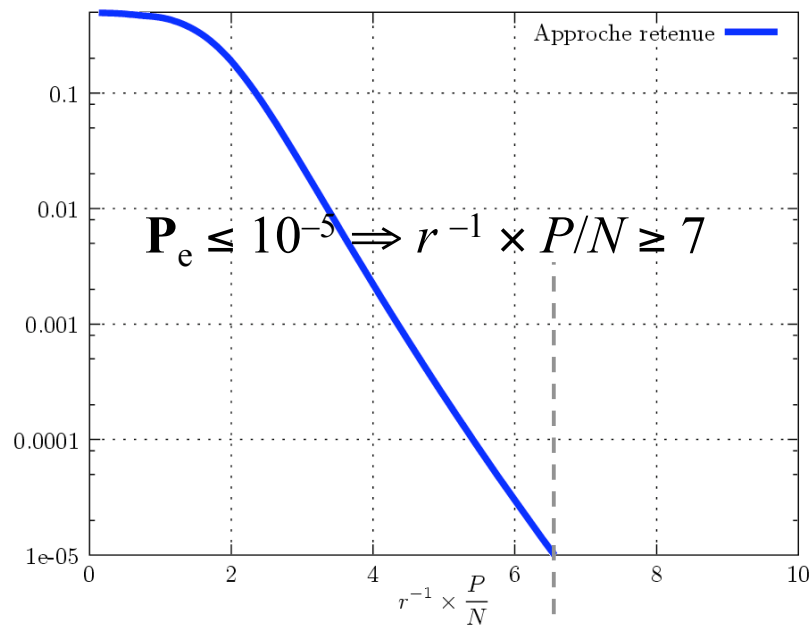


► Pourquoi la transformée en ondelettes ?

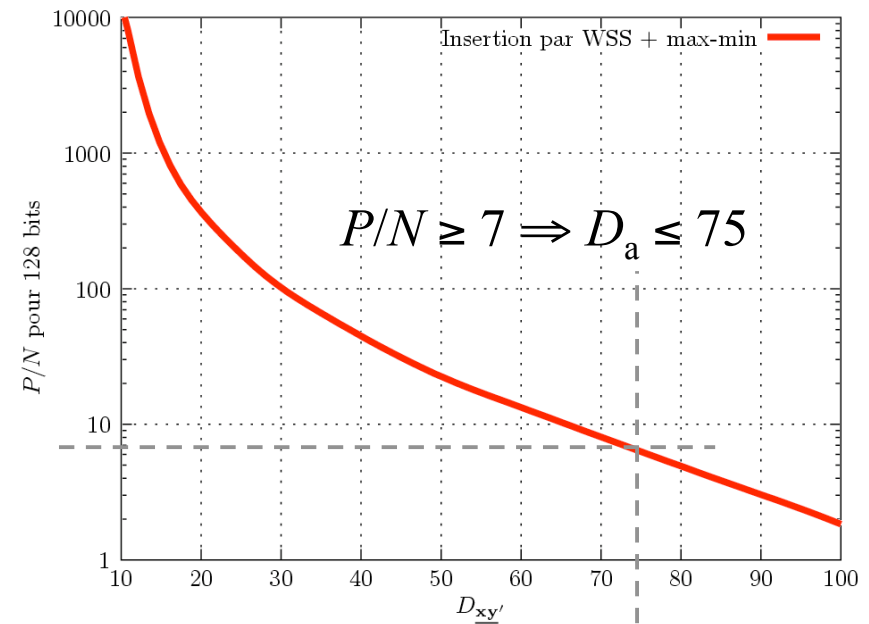
- Bon pouvoir de décorrélation
 - Modèles psycho-visuels adaptés [Taubman00]
 - Propriétés intéressantes face aux desynchronisations géométriques
 - 1 pixel dans le domaine spatial \Rightarrow 1/2 pixel au premier niveau de décomposition
 - ...
- ➔ Possibilité d'amélioration du jeu



Point de fonctionnement



Performance du code



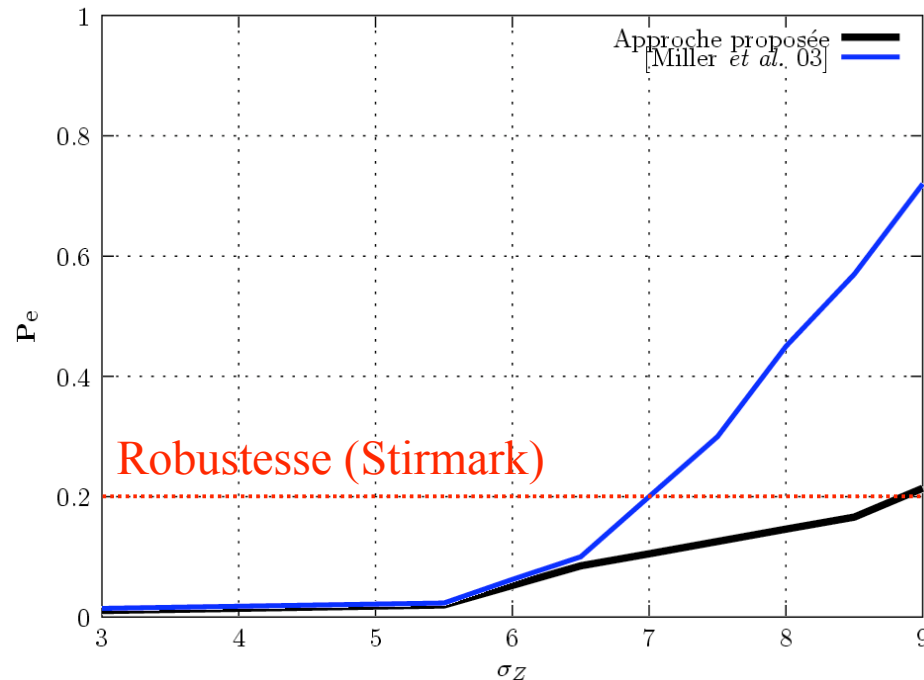
Canal obtenu par max-min (*Lena*)

➔ Pour toute attaque de distorsion ≤ 29.4 dB, on assure la transmission de 128 bits avec $P_e \leq 10^{-5}$

Impact sur les applications

- Gestion de droits
 - capacité moyenne, grande robustesse
 - 128 bits et $D_e = 38$ dB $\Rightarrow D_a < 29.4$ dB (*Lena* 512x512)
- Meta-données
 - forte capacité, robustesse faible
 - $D_e = 40$ dB et $D_a < 35$ dB $\Rightarrow 2760$ bits
- Détection d'une marque (réponse oui/non)
 - faible probabilité de fausse alarme, grande robustesse
 - $D_e = 38$ dB + $P_f < 10^{-7}$ (20 bits) $\Rightarrow D_a < 27.9$ dB

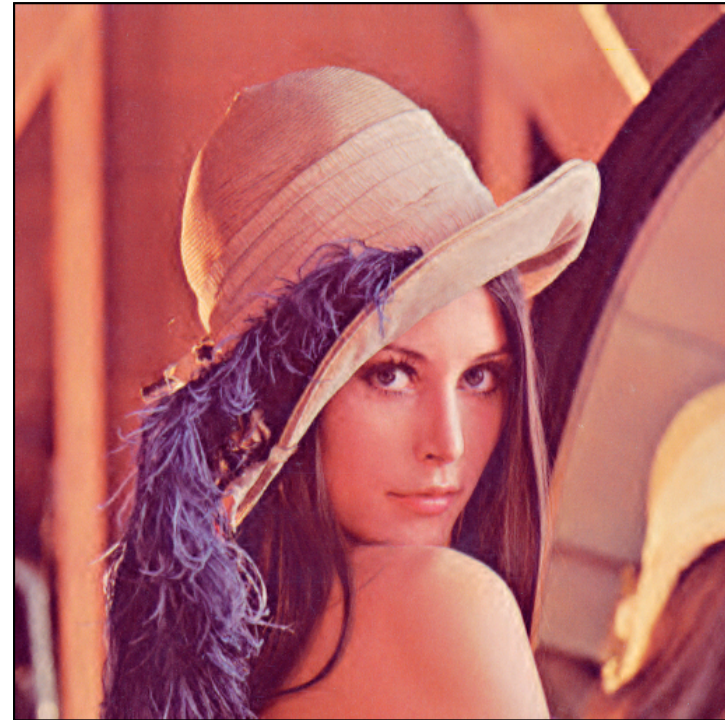
Performance face à l'état de l'art



- [Miller03] : tatouage robuste de haute capacité
 - Insertion et codage informés
 - Domaine DCT
- Images 240×368 pixels, insertion de 1380 bits
- Contrainte de distorsion par distance de Watson
- Attaque par ajout de bruit gaussien i.i.d.

▶ Qualité visuelle

- Avec $D_e = 38$ dB et en visant $D_a = 35$ dB
 - Marque bien étalée sur toute l'image
 - Légers rebonds près des contours



Qualité visuelle

- Avec $D_e = 38$ dB et en visant $D_a = 35$ dB
 - Marque bien étalée sur toute l'image
 - Légers rebonds près des contours
- Avec $D_e = 38$ dB et en visant $D_a = 28$ dB
 - Concentration dans les basses fréquences
 - Rebonds plus visibles





Conclusion

- Un schéma de tatouage...
 - Chaque étape guidée par des bases théoriques
 - Stratégie d'insertion → théorie des jeux
 - Technique de codage → adaptation du schéma de Costa
 - Aux performances potentiellement proches des limites théoriques définies par l'état de l'art
 - Répercussion pratique immédiate
 - Application aux images [RNRT Diphonet]



Contributions

Aspect canal

- Optimisation de l'étalement de spectre par théorie des jeux
 - Canal gaussien unique dans un sous-espace linéaire
⇒ équilibre du jeu max-min (\neq [Moulin])
 - Filtrage de Wiener à l'insertion
- Extensions inédites du jeu
 - Impact des désynchronisations
 - Prise en compte de la réalisation du signal (attaque *informée*)
- Permet de justifier plusieurs techniques empiriques
 - Attaque par ajout de bruit et annulation [Su01]
 - Marquage des échantillons perceptuellement importants [Cox97]
 - Privilégier les basses fréquences pour les attaques géométriques [Kalker01]



Contributions

Aspect codage

- Codes partitionnés par poinçonnage et bits d'index
 - Très grande flexibilité (\neq [Pradhan99])
 - Encodage et décodage aisé et rapide
 - Performances très supérieures à un code classique, proches de l'idéal de Costa
 - Adaptable à d'autres types de code
- Maximisation de la robustesse
 - Généralisation de [Miller00]
 - Gain de performance supplémentaire
- Suppression de l'interférence inter-symboles
 - ISI = information adjacente
⇒ Gain de performance important



Perspectives

- Extension du principe de structuration à des codes plus performants
 - Comment transmettre i , paramètre de structuration
 - Marque supplémentaire ?
 - Introduction dans l'a priori lors de l'encodage ?
 - Mesure de distorsion moyenne \Rightarrow possibilité de concentration de la marque et donc perceptibilité
 - Ajout d'une mesure JND (*just noticeable difference*)
 - Développement/intégration d'un schéma de resynchronisation afin de résister aux attaques géométriques
-